0624 臺北冰雹事件氣象分析

廖信豪、黄紹欽、林忠義、于宜強

國家災害防救科技中心 氣象組

摘要

2022年6月24日的「臺北冰雹事件」為博愛特區在氣象觀測紀錄上的第四次強降雨夾帶冰雹事件。與過去致災的午後暴雨事件相比,此次事件大臺北地區的時雨量多在40毫米以下,未達中央氣象局發布大雨的標準。但此次降雨事件仍伴隨劇烈的下衝流,使地面出現9級強陣風。對流胞內劇烈的垂直運動讓大臺北地區內多個行政區降下冰雹,與過往的劇烈降雨事件並不相同,值得進行天氣的分析與紀錄。本研究利用雙偏極化雷達與風場資料分析對流胞的內部結構,進一步了解劇烈天氣系統發展的歷程。劇烈降雨發生前,在對流胞中低層發現「有界弱回波區」的特徵,在此區域內的上升運動會將環境水氣往對流胞中高層傳輸,支持對流胞的發展。冰雹發生期間,在大氣的融解層附近發現存在於劇烈天氣系統的「差異反射率柱狀結構」及「比差異相位差柱狀結構」等特徵。而底層出現「回波」、「比差異

相位差」及「差異反射率」等變量有高值、低相關係數的現象,此處即是劇烈降雨與冰雹發生位置。到了對流胞成熟期的尾聲,對流胞內的上升運動已無法支撐雨滴在雲內繼續發展,雨滴便開始快速往下墜落形成雨滴的「粒徑分選」現象,出現此種現象可以表示此對流胞已經不再發展,將進入「消散期」降雨將逐漸趨緩。

一、 事件概述

2022 年 6 月 24 日的午後,大臺北地區發生一起劇烈雷雨事件, 位於總統府旁的中央氣象局臺北氣象站更觀測到冰雹現象,這也是博 愛特區內,氣象觀測有紀錄以來第四次出現冰雹現象(前三次分別是 1979、1998、2013 年)。根據中央氣象局臺北氣象站的地面觀測資料 顯示,臺北盆地受到太陽加熱影響,溫度自7時開始緩慢上升(圖1(a)), 並於11 時至13 時達到34°C以上,使得臺北盆地內出現熱力不穩定 的大氣環境條件。而在大氣的水氣含量方面(圖1(b)),臺北氣象站的 比濕觀測於11 時起亦快速增加。因此對流胞就在熱力及豐沛水氣的 雙重條件下開始發展。13 時臺北氣象站位在對流胞影響範圍內,兩勢 逐漸增大,最大時雨量為26.5毫米(圖1(d))。此時強降雨所引發的下 衝流,除了讓臺北氣象站出現每秒24.2公尺的9級強陣風(圖1(c))外, 氣溫也在短短1小時內降低了9.6°C(圖1(a))。而臺北市的大同、中正 及大安等地區受強陣風影響,傳出路樹倒塌的災情通報。

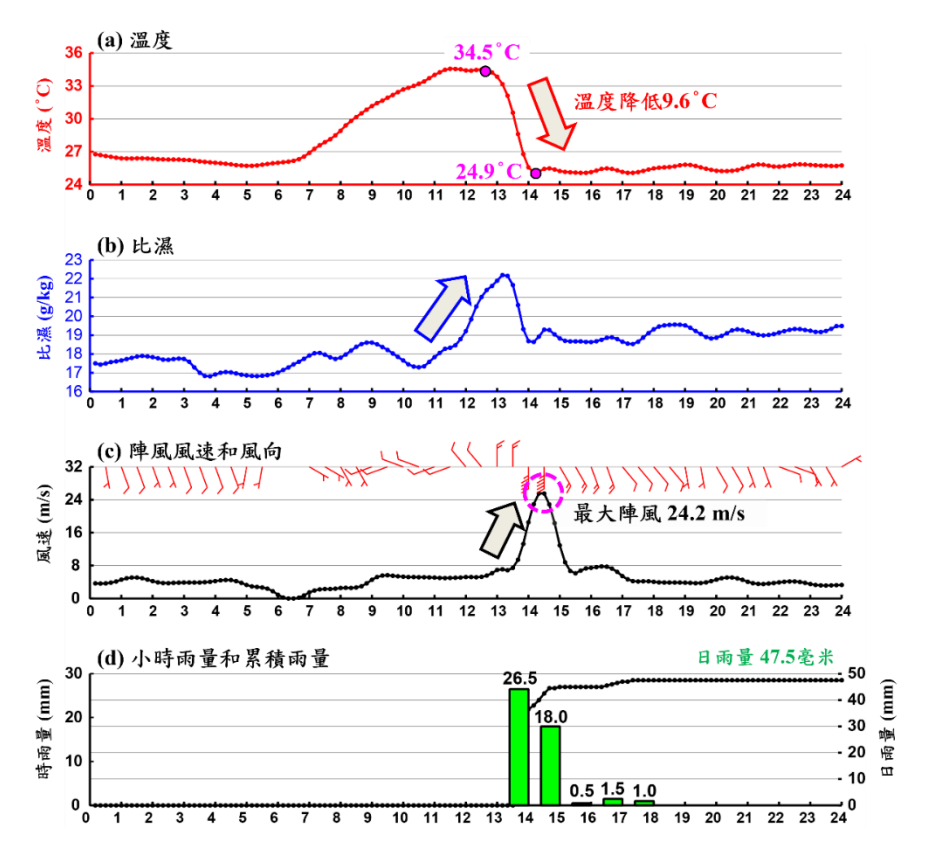


圖 1、中央氣象局臺北氣象站 6 月 24 日地面觀測(a)溫度、(b)比濕、(c)陣風風速和風向與(d)小時雨量和累積雨量(資料來源:中央氣象局; 繪製:國家災害防救科技中心)

過去發生在大臺北地區的午後暴雨,如 2015 年 6 月 14 日臺北暴雨事件(于等,2016)、2019 年 7 月 2 日桃園及大臺北地區豪雨事件(江等,2019)、2021 年 6 月 04 日北部淹水事件(廖等,2021)等,皆有多個雨量站的 3 小時累積雨量達 100 毫米以上,導致新北市及臺北市多處發生積淹水災情。但在本事件中,大臺北地區的時雨量多為 40 毫米以下,遠低於過去的午後暴雨事件時雨量的降雨強度。但此降雨卻

引發強烈的下衝流,使得地面出現9級強陣風,對流胞內的強烈垂直 運動也導致大臺北多個行政區發生降下冰雹事件。

二、 綜觀天氣分析

分析 6月 24 日東亞地區的地面綜觀天氣圖(圖 2(a)),東亞地區除了有一道鋒面位於日本至長江一帶外,臺灣附近無明顯天氣系統影響,正處於所謂「弱綜觀」的大氣環境中,全臺各地天氣晴朗穩定。分析美國國家環境預報中心的氣候預報系統再分析資料(National Centers for Environmental Prediction, Climate Forecast System Reanalysis, NCEP CFSR)顯示(圖 2(b)),臺灣位在太平洋副熱帶高壓邊緣。同時,環境盛行的偏南風會將南方的暖濕空氣傳送至臺灣附近,使臺灣出現適合對流系統發展的大氣條件。中午過後嘉義以北的平地及山區,紛紛出現劇烈的午後雷雨,臺北市更發生少見的冰雹事件。

分析 24 日雷達回波、閃電落雷與地面風場觀測資料(圖 3),當時大環境的偏南風從南邊的大漢溪吹進臺北盆地,來自淡水河口的海風自上午 11 時逐漸增強,海風(西北風)自淡水河吹入臺北盆地(圖 3(a)、(b)),此時尚無明顯的對流系統發展。13 時由基隆河進來的海風(東北風)開始增強,並與來自淡水河口和大漢溪的兩股氣流在臺北盆地東側輻合,引發對流胞的生成(圖 3(c)),對流胞發展後往南南東方移動。

13 時 30 分對流胞明顯增強(回波>40dBZ),並伴隨高密度「閃電躍升」 現象(圖 3(d)),此現象表示對流胞內有較強的上升運動發生。根據前人研究當「閃電躍升」訊號出現後,可預期地面將有劇烈降雨發生 (Schultz et al. 2009; Gatlin and Goodman, 2010)。14 時強回波範圍涵蓋整個臺北市及鄰近的新北市地區(圖 3(f)),臺北市的中正、中山與萬華區,以及新北市的蘆洲、三重、中和與永和區陸續有民眾回報有冰雹發生。

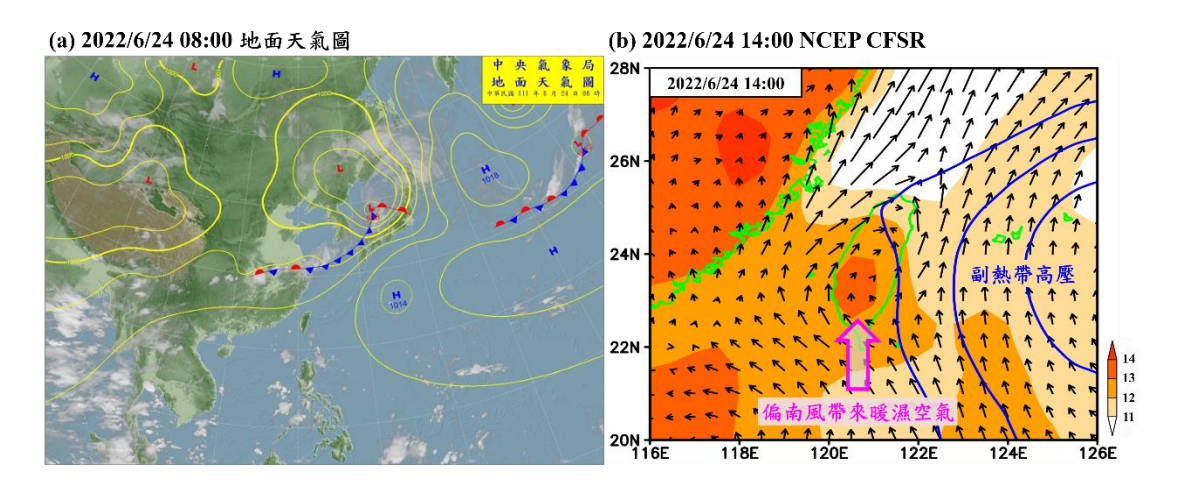


圖 2、2022 年 6 月 24 日(a)中央氣象局地面天氣圖。(b)美國國家環境預測中心 CFSR 模式再分析圖,箭頭為 1000 百帕風場、藍實線為 500 百帕重力位高度、色階代表 850 百帕水氣含量(繪製:國家災害防救科技中心)

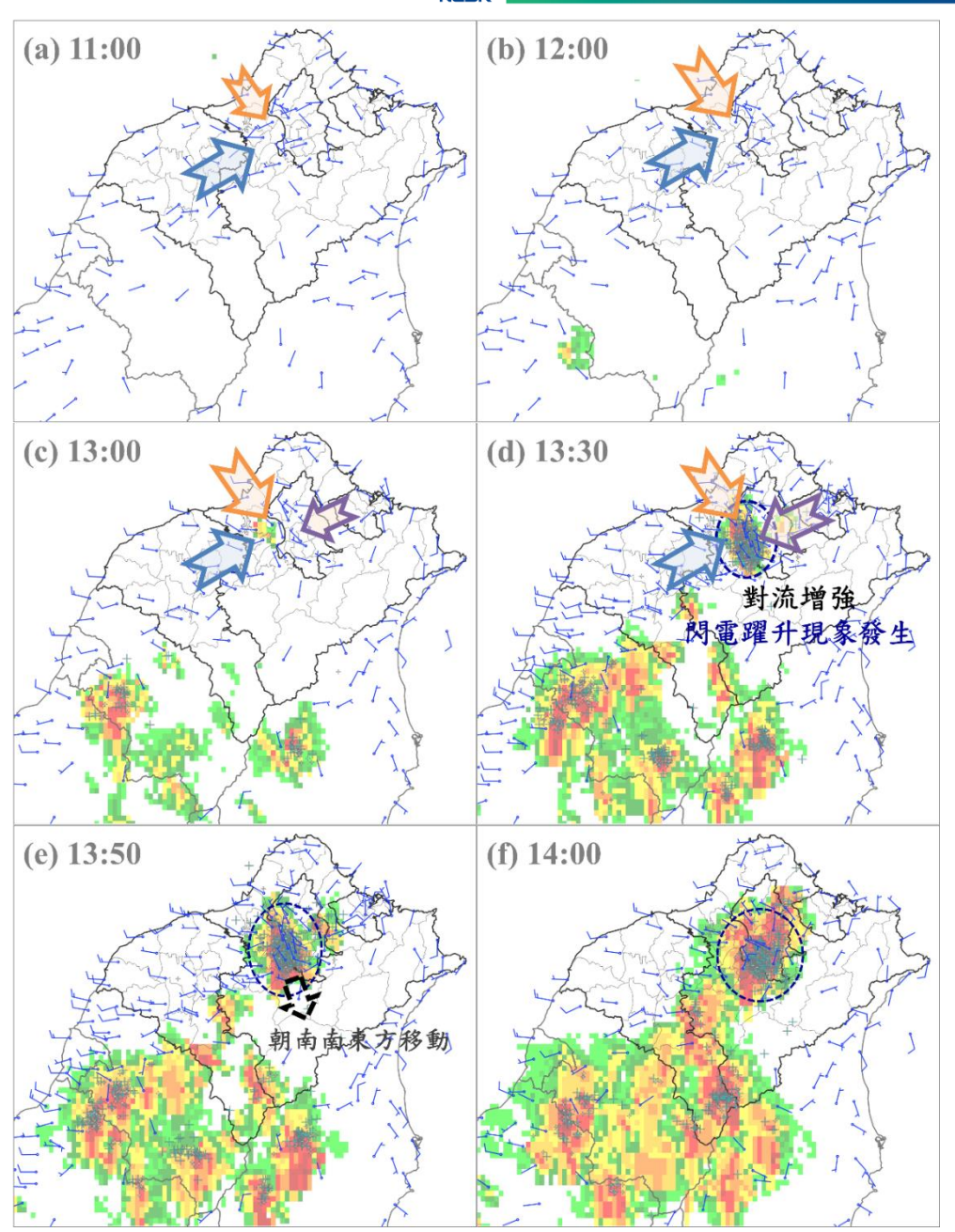


圖 3、2022 年 6 月 24 日 11 時至 14 時雷達回波、閃電落雷與地面風場整合圖。橘色、紫色及藍色箭頭分別代表淡水河、基隆河及大漢溪的風向(資料來源:中央氣象局;繪製:國家災害防救科技中心)

大臺北地區雨量觀測資料顯示(圖 4),24 日的降雨主要集中在臺 北盆地南側,日累積雨量約50至80毫米。其中,臺北市中正區13 時開始出現降雨,最大時雨量 34 毫米(圖 4(b)),隨時間雨勢逐漸轉強並往南移動至新店、烏來和三峽等區域,最大時雨量出現在新北市新店區的 61 毫米(圖 4(c)),17 時過後降雨趨緩。

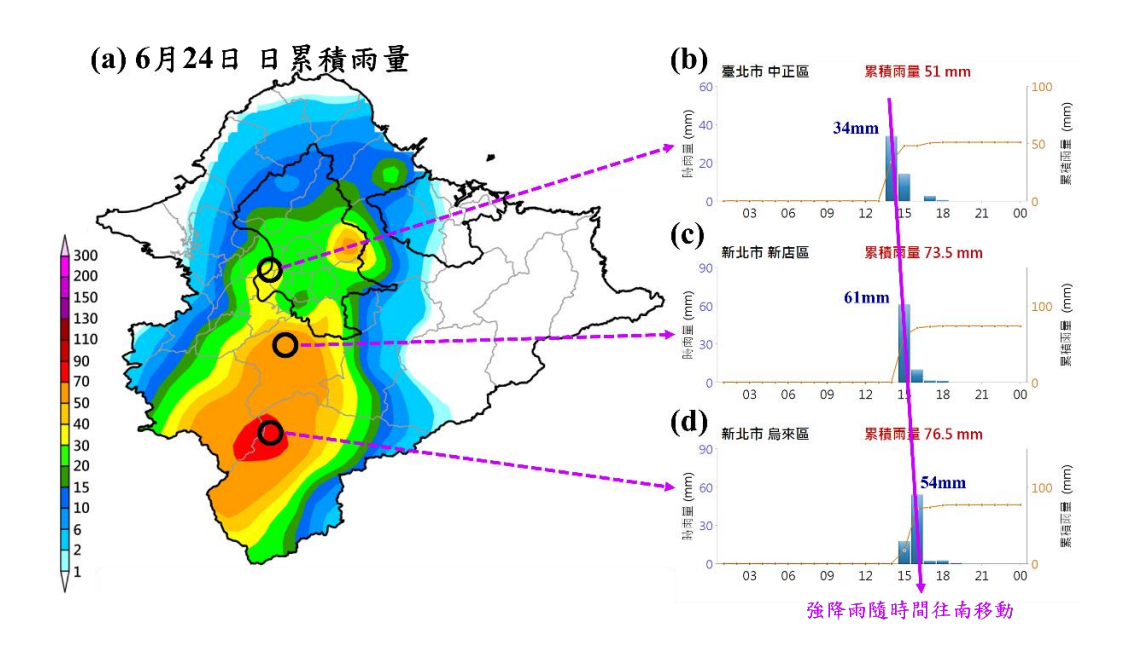


圖 4、2022 年 6 月 24 日(a)日累積雨量圖、(b)臺北市中正區中正國中站、(c)新北市新店區精忠站、(d)新北市烏來區信賢派出所站之降雨時序(資料來源:中央氣象局;繪製:國家災害防救科技中心)

三、 雙偏極化雷達資料與風場特徵分析

國家災害防救科技中心(以下簡稱災防科技中心)今(2022)年建置全臺降雨熱區雷達回波與風場剖面即時監測系統(圖 5),利用熱區回波與五分山雷達雙偏極化參數(包含回波、差異反射率(Z_{DR})、比差異相位差(K_{DP})、相關係數(ρ_{HV}))等資料,考慮對流胞的移動方向,選擇「台北2」剖面進行分析,可清楚檢視此次冰雹事件對流胞的垂直結

構、雲物理特徵與風場變化。圖 6 為 13 時 40 分最大回波與回波、差異反射率、比差異相位差及風場垂直剖面,在中層約 4 公里以下有一個「有界弱回波區」(Bounded Weak Echo Region, BWER)出現(圖 6 黑圈),此現象(強回波包覆著弱回波區)是強雷雨胞的雷達觀測特徵,並具有下列幾項特性:(1)常發生在對流胞的氣流入流區;(2)上方與側邊伴隨有較大的「回波」、「差異反射率」及「比差異相位差」;(3)發生在對流胞中層,位置的高度約 3 至 10 公里;(4)此現象與生成期的強上升氣流有關。本次事件的環境偏南風夾帶豐沛水氣從大漢溪一帶進入臺北盆地,在對流胞前緣形成入流區,強上升氣流將南來的水氣往中高層送,有助於「有界弱回波區」的上方水滴與冰晶長大成冰雹,並且部分雨滴與冰雹會被氣流輸送到對流胞內,增強對流胞的發展。

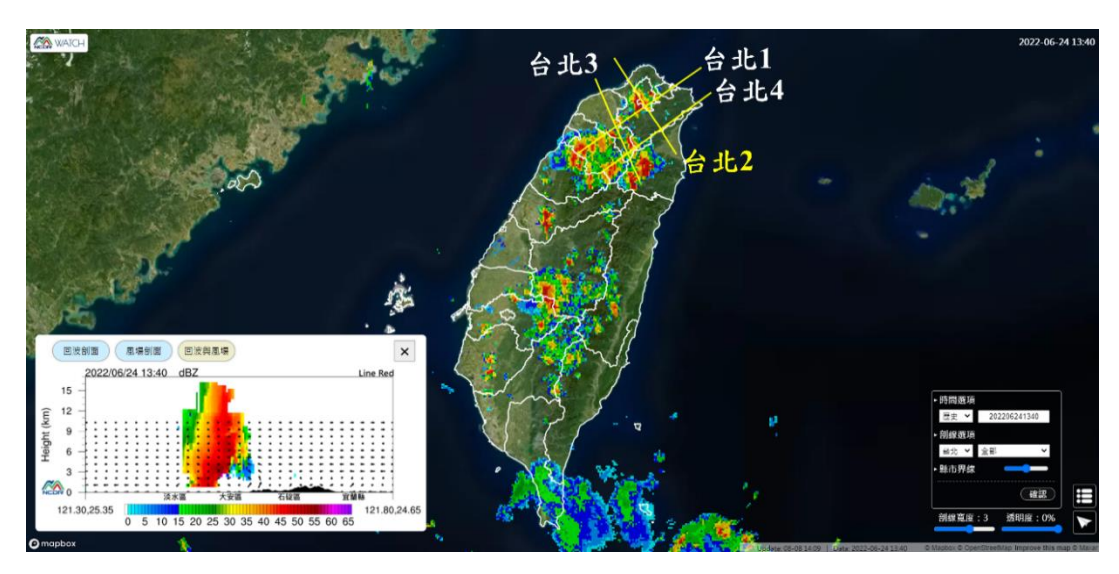


圖 5、全臺降雨熱區雷達回波與風場剖面即時監測系統(圖台:mapbox;

繪製:國家災害防救科技中心)

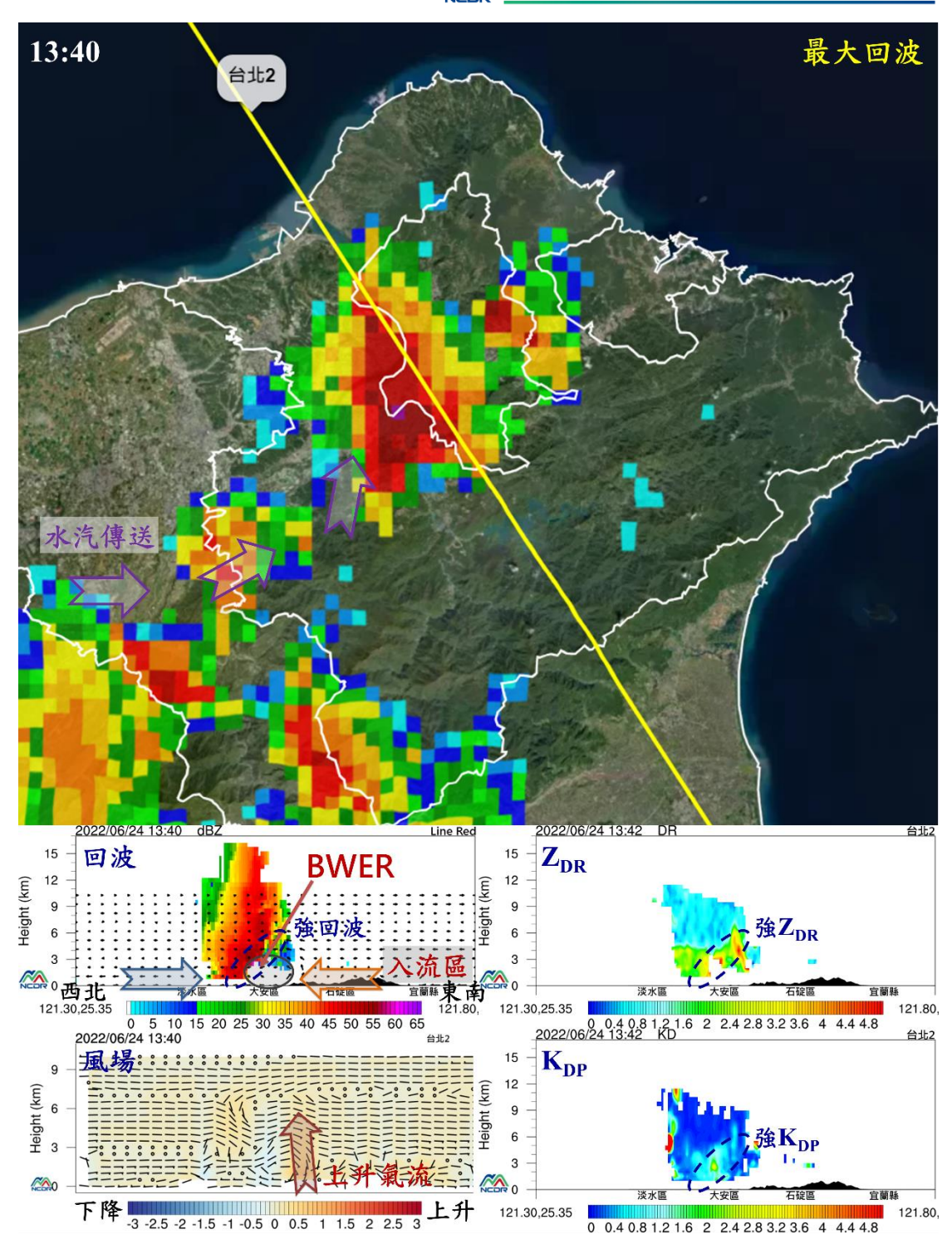


圖 6、2022 年 6 月 24 日 13 時 40 分最大回波、雙偏極化參數及風場 垂直剖面(繪製:國家災害防救科技中心)

13 時 50 分對流胞強度增強,系統的發展高度已超過 15 公里,

強回波區(>55dBZ)高度也已達 6 公里,分析「差異反射率」「比差異 相位差」及相關係數,在融解層附近出現雙偏極化參數在劇烈天氣系 統的特徵(Kumjian and Ryzhkov, 2008、周等, 2016), 包含「差異反射 率」的柱狀結構(Z_{DR} column)及「比差異相位差」的柱狀結構(K_{DP} column)(圖 7)。上升氣流將底層的水氣帶往中高層,水氣在融解層附 近凝結成水滴及冰雹,積累形成「差異反射率」的柱狀結構,而在上 升氣流邊緣累積較多的液態水(Kpp>2.5 度/公里),形成「比差異相位 差」的柱狀結構。同時在底層 3 公里以下的強回波區(>55dBZ),有較 大的「比差異相位差」 $(K_{DP}>1)$ 度/公里、「差異反射率」 $(Z_{DR}>2dB)$ 與 較低的相關係數(D HV<0.8)存在。此現象表示地面正有劇烈降雨與冰 雹的發生,而且劇烈降雨引發的下衝流,使得地面測站觀測到有9級 強陣風的發生(圖 1(c)),臺北市中正區傳出多處路樹倒塌的災情。而 下衝流前緣的強上升運動,將大量的水氣往對流胞內送,有助對流胞 生長,回波增強、粒子(ZDR)變大、液態水(KDP)含量增加。

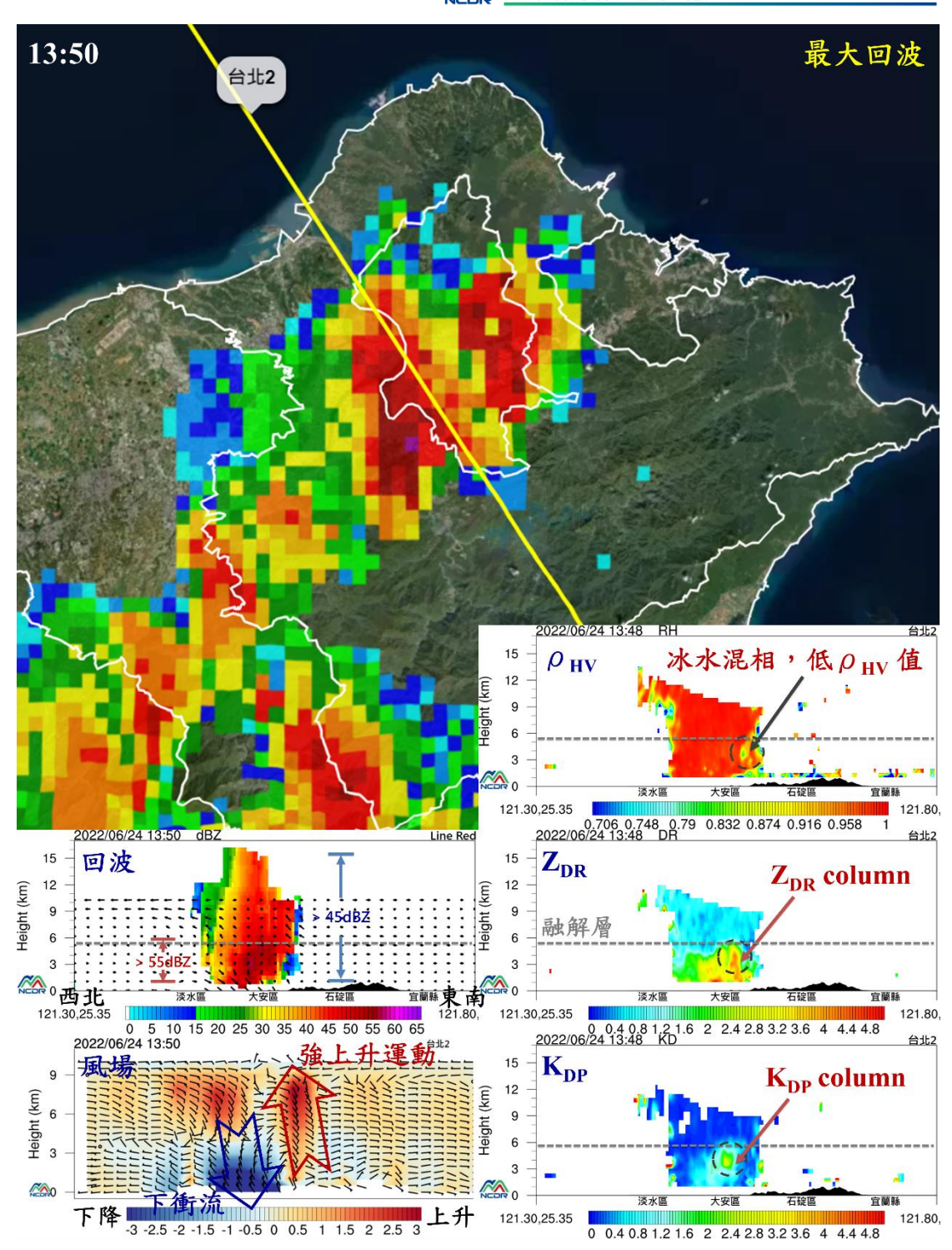


圖 7、2022 年 6 月 24 日 13 時 50 分最大回波、雙偏極化參數及風場 垂直剖面(繪製:國家災害防救科技中心)

14 時強上升運動持續將水氣及小水滴帶往對流胞的中高層,「差

異反射率」柱狀結構及「比差異相位差」柱狀結構所在高度超過融解 層高度,強回波區(>55dBZ)的高度在3至7公里處,配合此區高相 關係數 $(\rho_{HV}>0.9)$,此時「差異反射率」柱狀結構是由粒徑大的過冷水 滴組成,也有較多的液態水在此積累(圖 8)。當上升運動無法支撐這 些雨滴在對流胞內繼續發展時,雨滴便開始往下墜落產生劇烈降雨。 在 14 時 20 分的風場垂直剖面圖(圖 9)可以發現,環境的上升運動明 顯減弱,似乎只剩下劇烈降雨所引發的下衝流。雨滴在落下的過程中, 不同大小的雨滴會有不同的落速,大(小)雨滴落下的速度較快(慢),形 成雨滴由大到小從底層往高層排列的雲物理現象,稱為「粒徑分選」 (size sorting, 圖 9)。在對流胞的生命期中,若從「差異反射率」的觀 測看到「粒徑分選」現象時,就表示此對流胞已不再成長,對流強度 也開始減弱。從 14 時 30 分雷達資料顯示(圖 10),對流胞的發展高度 及強度(回波)均減弱,液態水(Kpp)的含量減少、水象粒子(Zpr)也減小, 臺北市降雨強度也逐漸趨緩。

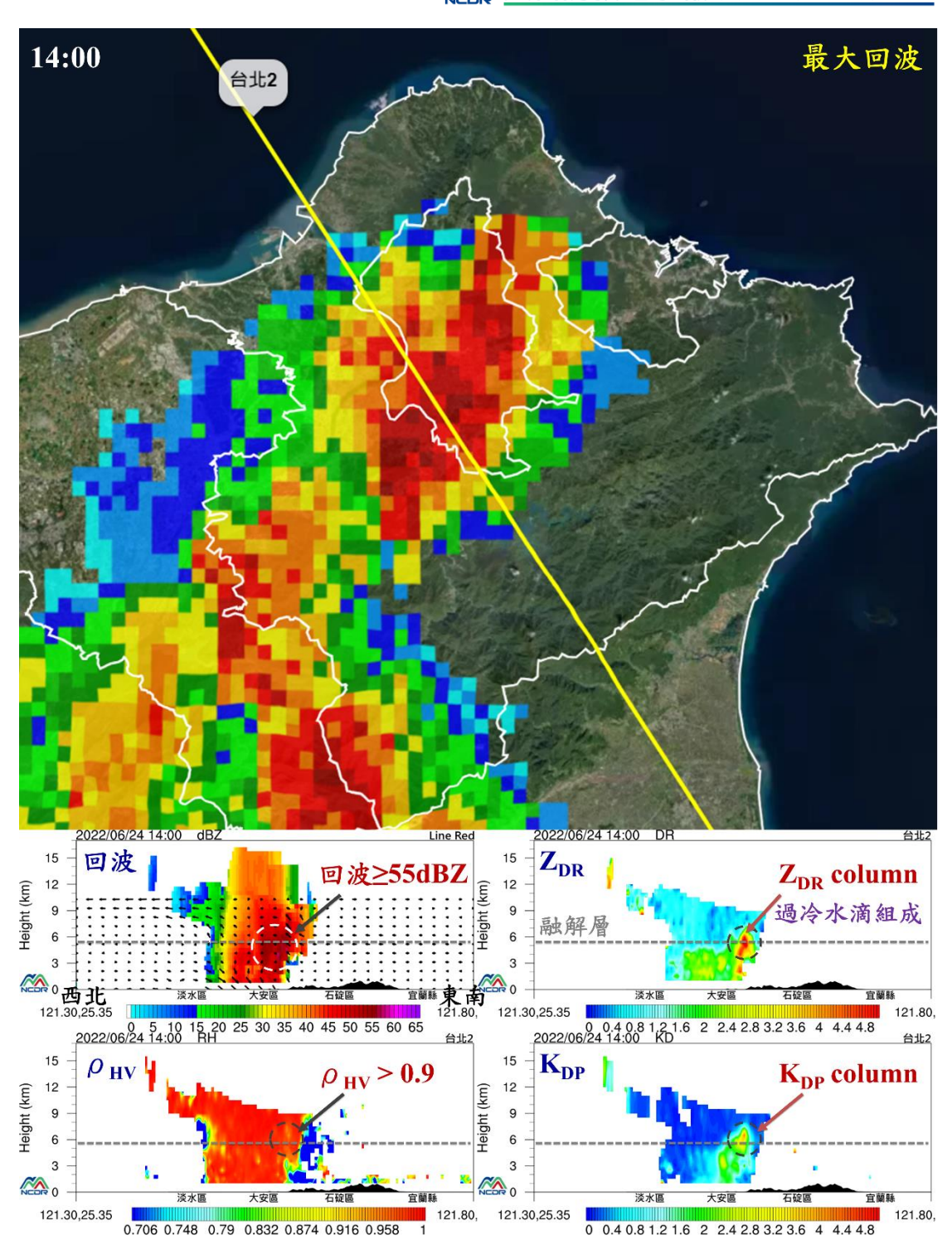


圖 8、2022 年 6 月 24 日 14 時最大回波及雙偏極化參數垂直剖面(繪

製:國家災害防救科技中心)

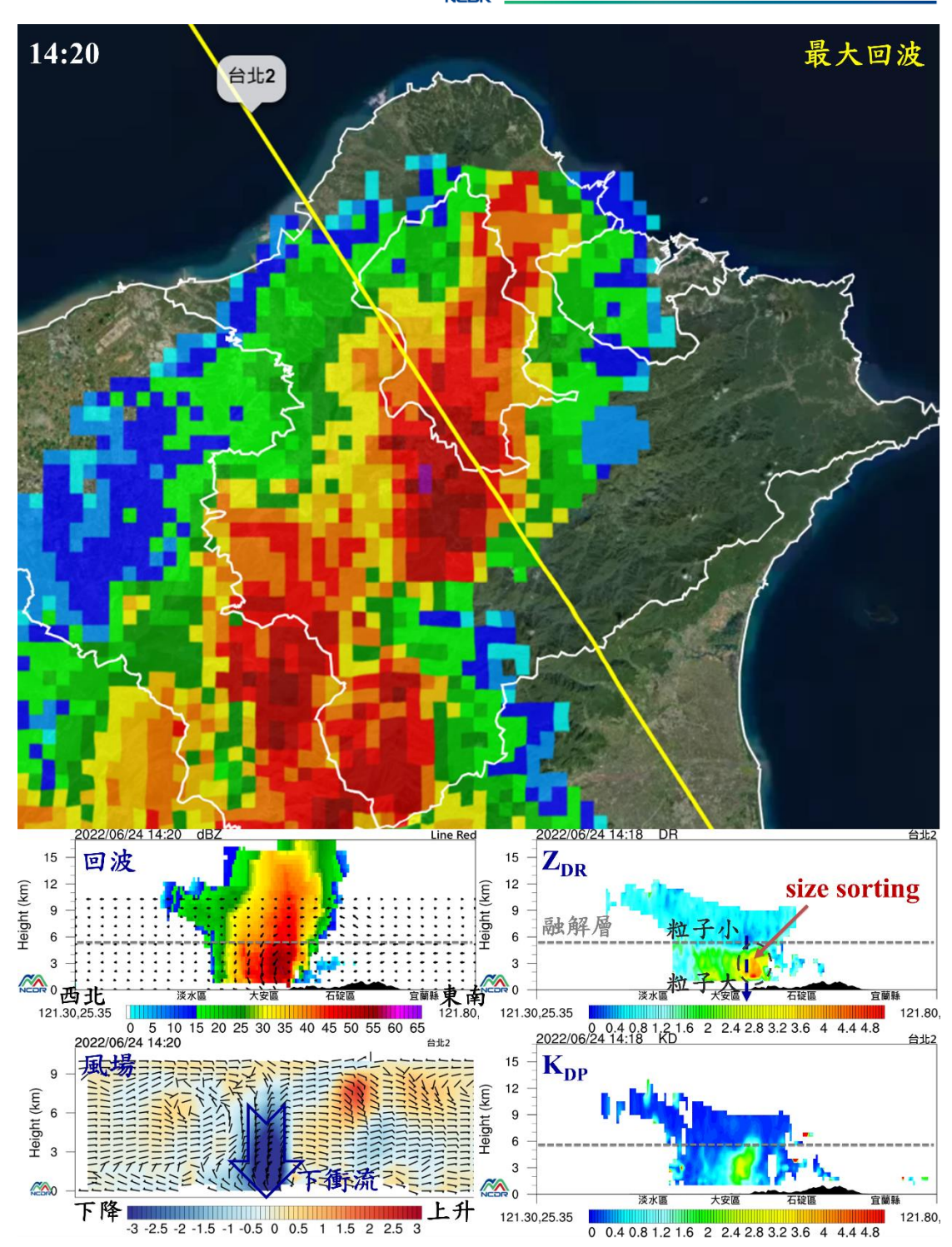


圖 9、2022 年 6 月 24 日 14 時 20 分最大回波、雙偏極化參數及風場 垂直剖面(繪製:國家災害防救科技中心)

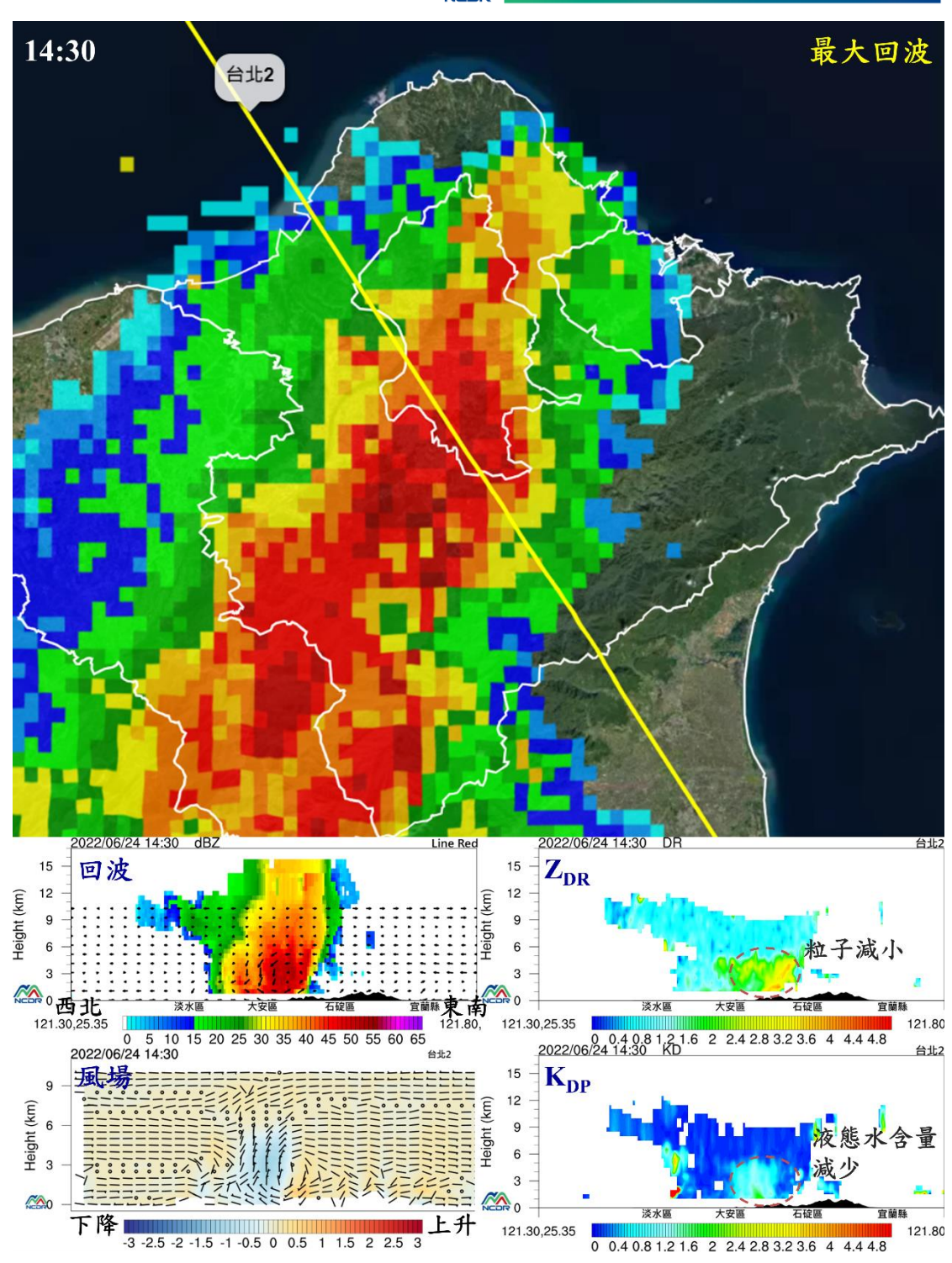


圖 10、2022 年 6 月 24 日 14 時 30 分最大回波、雙偏極化參數及風場垂直剖面(繪製:國家災害防救科技中心)

四、 結論

6月24日臺灣處在弱綜觀環境中,無明顯天氣系統影響。午後從 大漢溪吹進臺北盆地的偏南風(環境風)與來自淡水河口的西北風(海 風)、基隆河進來的東北風(海風),在臺北盆地東側輻合激發對流胞的 生成,並有強上升運動使對流胞快速發展,也伴隨「閃電躍升」現象 發生。13時45分至14時,雙北地區多處陸續有冰雹事件傳出。

利用災防科技中心建置「全臺降雨熱區雷達回波與風場剖面即時監測系統」及雙偏極化雷達參數資料,分析此次臺北冰雹事件。地面劇烈降雨發生前,於對流胞中低層可見「有界弱回波區」,為強雷雨胞的雷達觀測特徵。豐沛的水氣會被上升運動帶往對流胞中高層,支持對流胞內水滴與冰雹生長。冰雹發生期間,對流胞發展的高度超過15公里,強回波區(>55dBZ)的高度也達6公里,並在融解層附近觀測到「差異反射率」柱狀結構與「比差異相位差」的柱狀結構,此現象是劇烈天氣系統的雙偏極化參數的特徵。而在劇烈降雨與冰雹發生的區域內,亦可見到「回波」、「比差異相位差」及「差異反射率」的高值與較低的相關係數存在,劇烈降雨所引發的下衝流,導致地面有9級強陣風,並釀成零星災情。

在對流胞成熟期的尾聲,上升運動已無法支撐雨滴在對流胞內繼

續成長,雨滴開始往下掉落產生劇烈降雨,對流雲中的雨滴出現由大到小從底層往高層排列的「粒徑分選」現象,此現象的出現可表示對流胞已不再發展,對流強度與降雨將開始減弱。

參考文獻

- 廖信豪、黄紹欽、林忠義、王安翔、陳淡容、于宜強,2021:「0604 北部淹水」事件氣象分析。國家災害防救科技中心災害防救電子 報,196,16頁。
- 2. 江宙君、徐理寰、李宗融、于宜強,2019:2019年7月2日桃園及大臺北地區豪雨事件氣象分析。國家災害防救科技中心災害防救電子報,169,16頁。
- 3. 周仲島、高聿正、修榮光、鍾吉俊、李宗融、郭鴻基,2016:臺 北都會區豪雨型午後雷暴的觀測特徵與預報挑戰:2015年6月14 日個案研究。大氣科學,4(1),57-82。
- 4. 于宜強、吳宜昭、龔楚媖、黃柏誠、王安翔、李宗融、林冠伶, 2016:2015年臺灣地區極端降雨事件彙整與分析。194頁。國家 災害防救科技中心,新北市。
- 5. Gatlin, P. N., and S. J. Goodman, 2010: A total lightning trending algorithm to identify severe thunderstorms. J. Atmos. Oceanic Technol., 27, 3-22.

- 6. Kumjian, M.R. and A.V. Ryzhkov, 2008: Polarimetric signatures in supercell thunderstorms. J. Appl. Meteor. Climatol., 47, 1940–1961.
- 7. Schultz, C. J., W. A. Petersen, and L. D. Carey, 2009: Preliminary development and evaluation of lightning jump algorithms for the real-time detection of severe weather. J. Appl. Meteor. Climatol., 48, 2543 –2563.